# Schnelle Verfahren für Vielteilchensysteme Seminar "Vielteilchensysteme"

Steffen Börm

University of Kiel, Germany

1. November 2022

Ziel: Auswertung der Coulomb-Kräfte, die auf geladene Teilchen wirken.

$$f_{ij} = q_i q_j g(x_i, y_j),$$
  $g(x, y) = c \frac{y_j - x_i}{\|y_i - x_i\|^3},$ 







Ziel: Auswertung der Coulomb-Kräfte, die auf geladene Teilchen wirken.

$$f_{ij} = q_i q_j g(x_i, y_j), \qquad g(x, y) = c \frac{y_j - x_i}{\|y_j - x_i\|^3}, \ f_i = q_i \sum_{i=1}^n q_i g(x_i, y_i)$$





Ziel: Auswertung der Coulomb-Kräfte, die auf geladene Teilchen wirken.

$$f_{ij}=q_i\,q_j\,g(x_i,y_j), \qquad \qquad g(x,y)=crac{y_j-x_i}{\|y_j-x_i\|^3}, \ f_i=q_i\sum_{i=1}^nq_j\,g(x_i,y_j) \qquad \qquad ext{für alle } i\in[1:n].$$

Problem: Aufwand wächst quadratisch mit der Anzahl der Teilchen.





Ziel: Auswertung der Coulomb-Kräfte, die auf geladene Teilchen wirken.

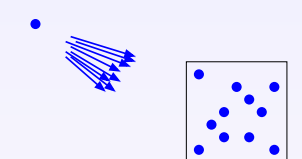
$$f_{ij}=q_i\,q_j\,g(x_i,y_j), \qquad \qquad g(x,y)=crac{y_j-x_i}{\|y_j-x_i\|^3}, \ f_i=q_i\sum_{i=1}^nq_j\,g(x_i,y_j) \qquad \qquad ext{für alle } i\in[1:n].$$

Problem: Aufwand wächst quadratisch mit der Anzahl der Teilchen.

#### Einfache Lösungsansätze:

- Vektorisierung (beispielsweise vier Kräfte simultan mit AVX),
- Parallelisierung (beispielsweise auf Mehrkernprozessoren),
- verteiltes Rechnen (beispielsweise ein Computer pro Teilgebiet).

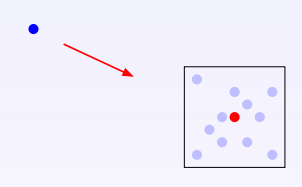
#### Ersatzteilchen



Idee: Weit entfernte Ansammlungen von Teilchen können durch ein einziges Teilchen ersetzt werden, das ungefähr dasselbe Kraftfeld hervorruft.

Dadurch lässt sich der Rechenaufwand spürbar reduzieren.

#### Ersatzteilchen



Idee: Weit entfernte Ansammlungen von Teilchen können durch ein einziges Teilchen ersetzt werden, das ungefähr dasselbe Kraftfeld hervorruft.

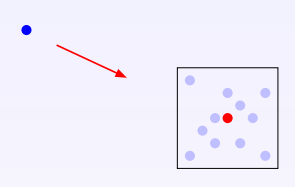
Dadurch lässt sich der Rechenaufwand spürbar reduzieren.

3 / 19

#### Berechnung vereinfacht sich zu

$$\sum_{j=1}^n q_j g(x_i, y_j) \approx \underbrace{\sum_{j=1}^n q_j}_{=:\hat{a}} g(x_i, \hat{y}) = \hat{q} g(x_i, \hat{y}).$$

## Ersatzteilchen



Idee: Weit entfernte Ansammlungen von Teilchen können durch ein einziges Teilchen ersetzt werden, das ungefähr dasselbe Kraftfeld hervorruft.

Dadurch lässt sich der Rechenaufwand spürbar reduzieren.

3 / 19

#### Berechnung vereinfacht sich zu

$$\sum_{j=1}^n q_j g(x_i, y_j) \approx \underbrace{\sum_{j=1}^n q_j}_{=:\hat{q}} g(x_i, \hat{y}) = \hat{q} g(x_i, \hat{y}).$$

Genauigkeit lässt sich abschätzen durch

$$\|g(x_i,y_j)-g(x_i,\hat{y})\|\lesssim rac{\mathsf{diam}(s)}{\mathsf{dist}(x_i,s)^3}, \qquad s ext{ ist eine Kugel um } \hat{y} ext{ mit } \{y_1,\ldots,y_n\}\subseteq s.$$

Ziel: Höhere Genauigkeit ohne deutlich höheren Rechenaufwand.

Ansatz: Mehrere Ersatzteilchen anstelle eines einzigen.





Konstruktion: Interpolation der Funktion  $y\mapsto g(x_i,y)$  in s. Interpolationspunkte  $(\xi_{s,\nu})_{\nu\in M}$ , Lagrange-Polynomen  $(\ell_{s,\nu})_{\nu\in M}$ .

$$g(x,y) \approx \sum_{\nu \in M} \ell_{s,\nu}(y) g(x,\xi_{s,\nu}).$$

Ziel: Höhere Genauigkeit ohne deutlich höheren Rechenaufwand.

Ansatz: Mehrere Ersatzteilchen anstelle eines einzigen.





Konstruktion: Interpolation der Funktion  $y \mapsto g(x_i, y)$  in s. Interpolationspunkte  $(\xi_{s,\nu})_{\nu \in M}$ , Lagrange-Polynomen  $(\ell_{s,\nu})_{\nu \in M}$ .

$$g(x,y) \approx \sum_{\nu \in M} \ell_{s,\nu}(y) g(x,\xi_{s,\nu}).$$

$$f_i = q_i \sum_{j=1}^n q_j g(x_i, y_j)$$

Ziel: Höhere Genauigkeit ohne deutlich höheren Rechenaufwand.

Ansatz: Mehrere Ersatzteilchen anstelle eines einzigen.





Konstruktion: Interpolation der Funktion  $y\mapsto g(x_i,y)$  in s. Interpolationspunkte  $(\xi_{s,\nu})_{\nu\in M}$ , Lagrange-Polynomen  $(\ell_{s,\nu})_{\nu\in M}$ .

$$g(x,y) \approx \sum_{\nu \in M} \ell_{s,\nu}(y) g(x,\xi_{s,\nu}).$$

$$f_i = q_i \sum_{j=1}^n q_j g(x_i, y_j) \approx q_i \sum_{j=1}^n q_j \sum_{\nu \in M} \ell_{s,\nu}(y_j) g(x_i, \xi_{s,\nu})$$

Ziel: Höhere Genauigkeit ohne deutlich höheren Rechenaufwand.

Ansatz: Mehrere Ersatzteilchen anstelle eines einzigen.





Konstruktion: Interpolation der Funktion  $y\mapsto g(x_i,y)$  in s. Interpolationspunkte  $(\xi_{s,\nu})_{\nu\in M}$ , Lagrange-Polynomen  $(\ell_{s,\nu})_{\nu\in M}$ .

$$g(x,y) \approx \sum_{\nu \in M} \ell_{s,\nu}(y) g(x,\xi_{s,\nu}).$$

$$egin{aligned} f_i &= q_i \sum_{j=1}^n q_j \, g(x_i, y_j) pprox q_i \sum_{j=1}^n q_j \sum_{
u \in M} \ell_{s,
u}(y_j) \, g(x_i, \xi_{s,
u}) \ &= q_i \sum_{
u \in M} \left( \sum_{j=1}^n q_j \, \ell_{s,
u}(y_j) 
ight) g(x_i, \xi_{s,
u}) \end{aligned}$$

Ziel: Höhere Genauigkeit ohne deutlich höheren Rechenaufwand.

Ansatz: Mehrere Ersatzteilchen anstelle eines einzigen.





Konstruktion: Interpolation der Funktion  $y\mapsto g(x_i,y)$  in s. Interpolationspunkte  $(\xi_{s,\nu})_{\nu\in M}$ , Lagrange-Polynomen  $(\ell_{s,\nu})_{\nu\in M}$ .

$$g(x,y) \approx \sum_{\nu \in M} \ell_{s,\nu}(y) g(x,\xi_{s,\nu}).$$

$$egin{aligned} f_i &= q_i \sum_{j=1}^n q_j \, g(x_i, y_j) pprox q_i \sum_{j=1}^n q_j \sum_{
u \in M} \ell_{s,
u}(y_j) \, g(x_i, \xi_{s,
u}) \ &= q_i \sum_{
u \in M} \left( \sum_{j=1}^n q_j \, \ell_{s,
u}(y_j) 
ight) g(x_i, \xi_{s,
u}) = q_i \sum_{
u \in M} \hat{q}_{s,
u} \, g(x_i, \xi_{s,
u}). \end{aligned}$$

# Zulässigkeit

Problem: Die Genauigkeit der Interpolation hängt von

$$\eta := \frac{\mathsf{diam}(s)}{\mathsf{dist}(x_i, s)}$$

ab, dem Verhältnis zwischen Durchmesser und Abstand.

# Zulässigkeit

Problem: Die Genauigkeit der Interpolation hängt von

$$\eta := \frac{\mathsf{diam}(s)}{\mathsf{dist}(x_i, s)}$$

ab, dem Verhältnis zwischen Durchmesser und Abstand. Für den Interpolationfehler *m*-ten Grades gilt die Abschätzung

$$\|f_i - \tilde{f}_i\| \lesssim \frac{1}{\operatorname{dist}(x_i, s)^2} \left(\frac{\eta}{\eta + 1}\right)^m.$$

# Zulässigkeit

Problem: Die Genauigkeit der Interpolation hängt von

$$\eta := \frac{\mathsf{diam}(s)}{\mathsf{dist}(x_i, s)}$$

ab, dem Verhältnis zwischen Durchmesser und Abstand. Für den Interpolationfehler *m*-ten Grades gilt die Abschätzung

$$\|f_i - \tilde{f}_i\| \lesssim \frac{1}{\operatorname{dist}(x_i, s)^2} \left(\frac{\eta}{\eta + 1}\right)^m.$$

Konsequenz: Wir können die Kräfte nicht global approximieren, sondern nur in einem gewissen Abstand von  $x_i$ .

Idee: Wir zerlegen den Raum in Teilgebiete und prüfen deren Zulässigkeit.

**\*** 

#### Rekursion:

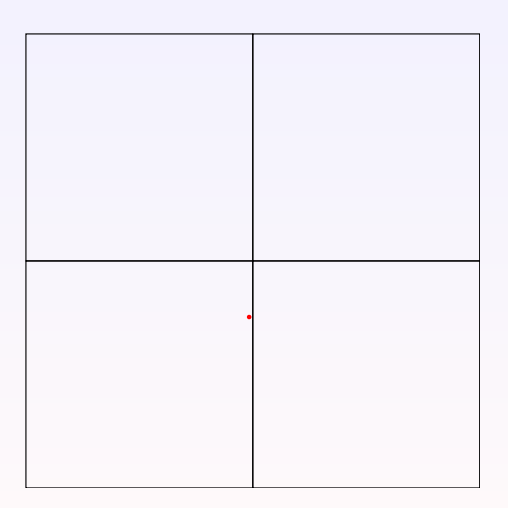
- Falls ein Teilgebiet zulässig ist, benutzen wir Interpolation.
- Ansonsten wird es weiter zerlegt.

Idee: Wir zerlegen den Raum in Teilgebiete und prüfen deren Zulässigkeit.

#### **Rekursion:**

- Falls ein Teilgebiet zulässig ist, benutzen wir Interpolation.
- Ansonsten wird es weiter zerlegt.

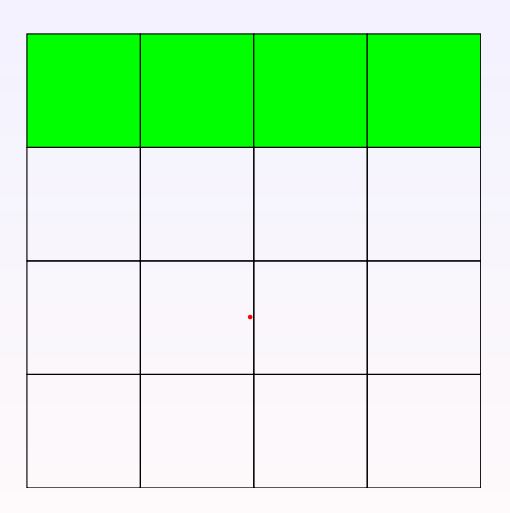
Idee: Wir zerlegen den Raum in Teilgebiete und prüfen deren Zulässigkeit.



#### Rekursion:

- Falls ein Teilgebiet zulässig ist, benutzen wir Interpolation.
- Ansonsten wird es weiter zerlegt.

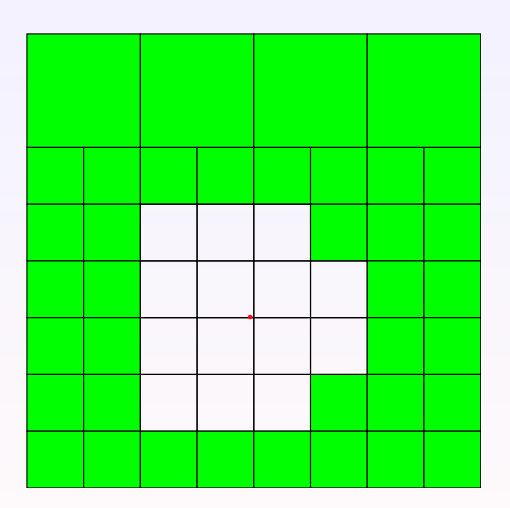
Idee: Wir zerlegen den Raum in Teilgebiete und prüfen deren Zulässigkeit.



#### Rekursion:

- Falls ein Teilgebiet zulässig ist, benutzen wir Interpolation.
- Ansonsten wird es weiter zerlegt.

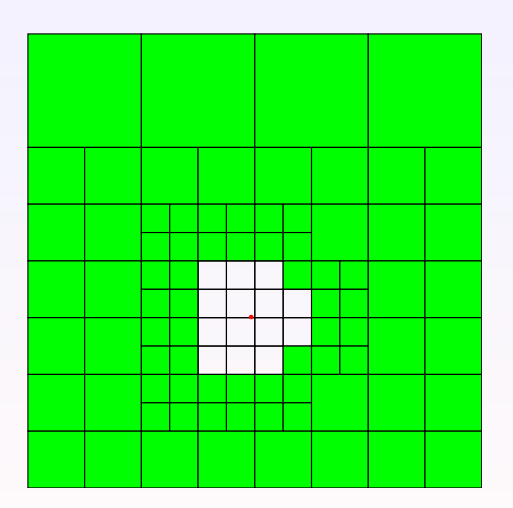
Idee: Wir zerlegen den Raum in Teilgebiete und prüfen deren Zulässigkeit.



#### Rekursion:

- Falls ein Teilgebiet zulässig ist, benutzen wir Interpolation.
- Ansonsten wird es weiter zerlegt.

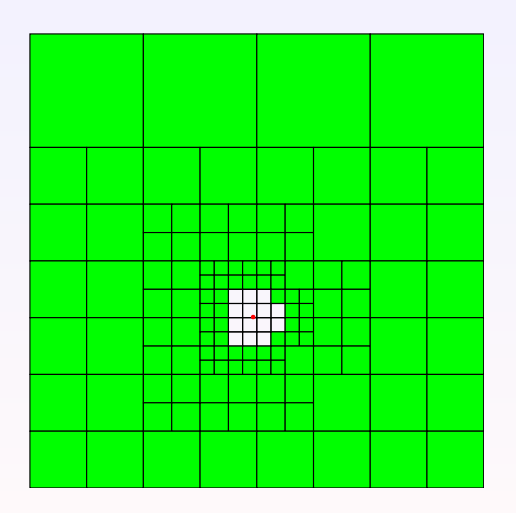
Idee: Wir zerlegen den Raum in Teilgebiete und prüfen deren Zulässigkeit.



#### Rekursion:

- Falls ein Teilgebiet zulässig ist, benutzen wir Interpolation.
- Ansonsten wird es weiter zerlegt.

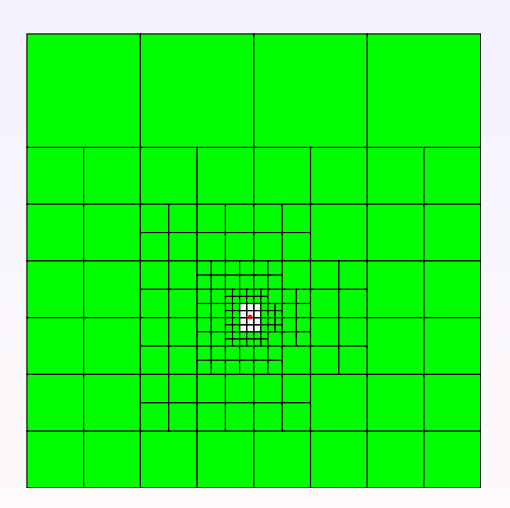
Idee: Wir zerlegen den Raum in Teilgebiete und prüfen deren Zulässigkeit.



#### Rekursion:

- Falls ein Teilgebiet zulässig ist, benutzen wir Interpolation.
- Ansonsten wird es weiter zerlegt.

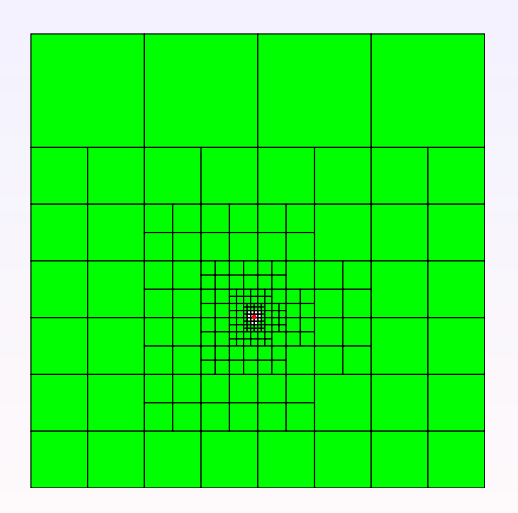
Idee: Wir zerlegen den Raum in Teilgebiete und prüfen deren Zulässigkeit.



#### Rekursion:

- Falls ein Teilgebiet zulässig ist, benutzen wir Interpolation.
- Ansonsten wird es weiter zerlegt.

Idee: Wir zerlegen den Raum in Teilgebiete und prüfen deren Zulässigkeit.



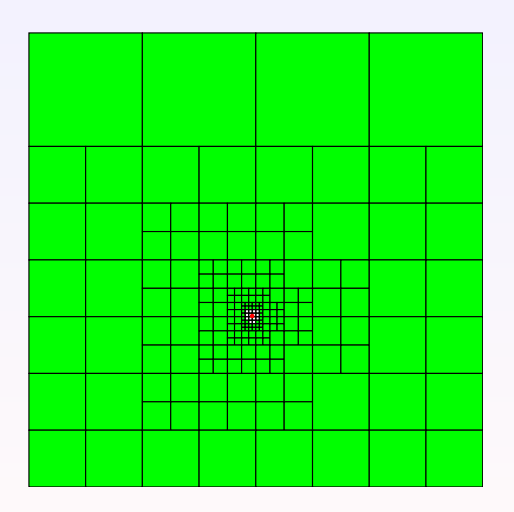
#### **Rekursion:**

- Falls ein Teilgebiet zulässig ist, benutzen wir Interpolation.
- Ansonsten wird es weiter zerlegt.

6 / 19

 Hinreichend kleine Teilgebiete können wir direkt behandeln.

Idee: Wir zerlegen den Raum in Teilgebiete und prüfen deren Zulässigkeit.

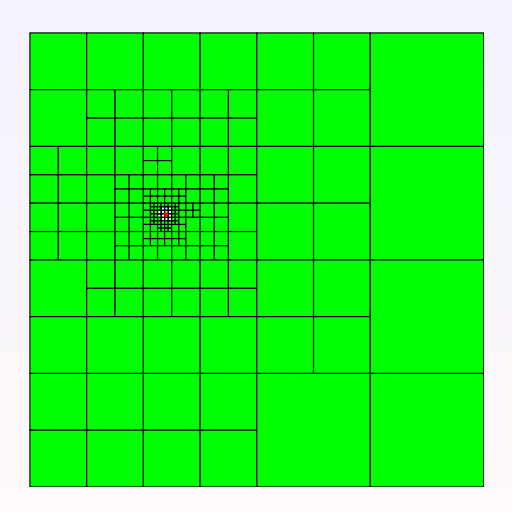


#### Rekursion:

- Falls ein Teilgebiet zulässig ist, benutzen wir Interpolation.
- Ansonsten wird es weiter zerlegt.
- Hinreichend kleine Teilgebiete können wir direkt behandeln.

Komplexität: Aufwand  $\mathcal{O}(m^2 \log(\frac{H}{h}))$  für die Auswertung in einem Punkt  $x_i$ .

Idee: Wir zerlegen den Raum in Teilgebiete und prüfen deren Zulässigkeit.

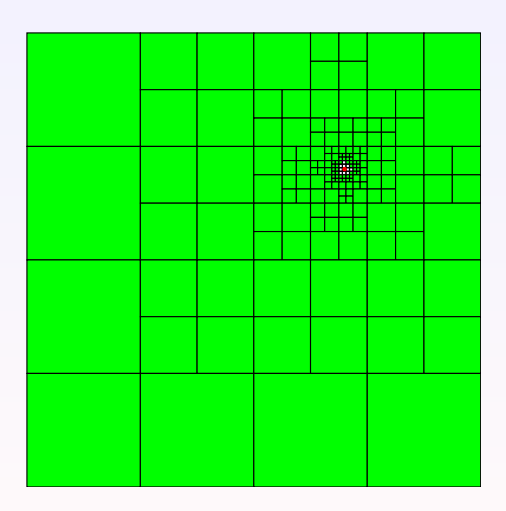


#### Rekursion:

- Falls ein Teilgebiet zulässig ist, benutzen wir Interpolation.
- Ansonsten wird es weiter zerlegt.
- Hinreichend kleine Teilgebiete können wir direkt behandeln.

Komplexität: Aufwand  $\mathcal{O}(m^2 \log(\frac{H}{h}))$  für die Auswertung in einem Punkt  $x_i$ .

Idee: Wir zerlegen den Raum in Teilgebiete und prüfen deren Zulässigkeit.



#### Rekursion:

- Falls ein Teilgebiet zulässig ist, benutzen wir Interpolation.
- Ansonsten wird es weiter zerlegt.
- Hinreichend kleine Teilgebiete können wir direkt behandeln.

Komplexität: Aufwand  $\mathcal{O}(m^2 \log(\frac{H}{h}))$  für die Auswertung in einem Punkt  $x_i$ .

Problem: Um das Kraftfeld in unterschiedlichen Punkten auszuwerten, benötigen wir Interpolationskoeffizienten auf unterschiedlichen Gebieten.

Idee: Wir berechnen alle Koeffizienten für eine Hierarchie von Teilgebieten im Voraus.

Problem: Um das Kraftfeld in unterschiedlichen Punkten auszuwerten, benötigen wir Interpolationskoeffizienten auf unterschiedlichen Gebieten.

Idee: Wir berechnen alle Koeffizienten für eine Hierarchie von Teilgebieten im Voraus.

Rekursion: Falls wir für alle Gebiete denselben Polynomgrad verwenden, gilt

$$\ell_{\mathbf{s}, 
u} = \sum_{
u' \in \mathbf{M}} \ell_{\mathbf{s}, 
u} (\xi_{\mathbf{s}', 
u'}) \, \ell_{\mathbf{s}', 
u'}.$$

Falls s in disjunkte Teilgebiete s' zerlegt wird, folgt

$$\hat{q}_{oldsymbol{s},
u} = \sum_{oldsymbol{y}_i \in oldsymbol{s}} q_j \, \ell_{oldsymbol{s},
u}(oldsymbol{y}_j)$$

Problem: Um das Kraftfeld in unterschiedlichen Punkten auszuwerten, benötigen wir Interpolationskoeffizienten auf unterschiedlichen Gebieten.

Idee: Wir berechnen alle Koeffizienten für eine Hierarchie von Teilgebieten im Voraus.

Rekursion: Falls wir für alle Gebiete denselben Polynomgrad verwenden, gilt

$$\ell_{\mathbf{s}, 
u} = \sum_{
u' \in \mathbf{M}} \ell_{\mathbf{s}, 
u} (\xi_{\mathbf{s}', 
u'}) \, \ell_{\mathbf{s}', 
u'}.$$

Falls s in disjunkte Teilgebiete s' zerlegt wird, folgt

$$\hat{q}_{\boldsymbol{s},\nu} = \sum_{\boldsymbol{y}_j \in \boldsymbol{s}} q_j \, \ell_{\boldsymbol{s},\nu}(\boldsymbol{y}_j) = \sum_{\boldsymbol{s}' \subseteq \boldsymbol{s}} \sum_{\boldsymbol{y}_j \in \boldsymbol{s}'} q_j \sum_{\nu' \in \boldsymbol{M}} \ell_{\boldsymbol{s},\nu}(\xi_{\boldsymbol{s}',\nu'}) \, \ell_{\boldsymbol{s}',\nu'}(\boldsymbol{y}_j)$$

Problem: Um das Kraftfeld in unterschiedlichen Punkten auszuwerten, benötigen wir Interpolationskoeffizienten auf unterschiedlichen Gebieten.

Idee: Wir berechnen alle Koeffizienten für eine Hierarchie von Teilgebieten im Voraus.

Rekursion: Falls wir für alle Gebiete denselben Polynomgrad verwenden, gilt

$$\ell_{\mathbf{s}, 
u} = \sum_{
u' \in \mathbf{M}} \ell_{\mathbf{s}, 
u} (\xi_{\mathbf{s}', 
u'}) \, \ell_{\mathbf{s}', 
u'}.$$

Falls s in disjunkte Teilgebiete s' zerlegt wird, folgt

$$\hat{q}_{s,\nu} = \sum_{y_j \in s} q_j \, \ell_{s,\nu}(y_j) = \sum_{s' \subseteq s} \sum_{y_j \in s'} q_j \sum_{\nu' \in M} \ell_{s,\nu}(\xi_{s',\nu'}) \, \ell_{s',\nu'}(y_j) = \sum_{s' \subseteq s} \sum_{\nu' \in M} \ell_{s,\nu}(\xi_{s',\nu'}) \, \hat{q}_{s',\nu'}.$$

Problem: Um das Kraftfeld in unterschiedlichen Punkten auszuwerten, benötigen wir Interpolationskoeffizienten auf unterschiedlichen Gebieten.

Idee: Wir berechnen alle Koeffizienten für eine Hierarchie von Teilgebieten im Voraus.

Rekursion: Falls wir für alle Gebiete denselben Polynomgrad verwenden, gilt

$$\ell_{\mathbf{s}, 
u} = \sum_{
u' \in \mathbf{M}} \ell_{\mathbf{s}, 
u} (\xi_{\mathbf{s}', 
u'}) \, \ell_{\mathbf{s}', 
u'}.$$

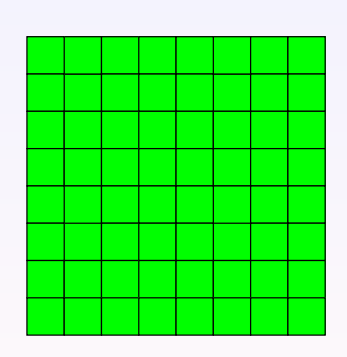
Falls s in disjunkte Teilgebiete s' zerlegt wird, folgt

$$\hat{q}_{s,\nu} = \sum_{y_j \in s} q_j \, \ell_{s,\nu}(y_j) = \sum_{s' \subseteq s} \sum_{y_j \in s'} q_j \sum_{\nu' \in M} \ell_{s,\nu}(\xi_{s',\nu'}) \, \ell_{s',\nu'}(y_j) = \sum_{s' \subseteq s} \sum_{\nu' \in M} \ell_{s,\nu}(\xi_{s',\nu'}) \, \hat{q}_{s',\nu'}.$$

Wir können also die Koeffizienten für s aus denen für die Teilgebiete s' berechnen.

# Vorbereitungsphase

Aufgabe: Alle Koeffizienten  $\hat{q}_{s,\nu}$  für alle Teilgebiete sind zu berechnen.

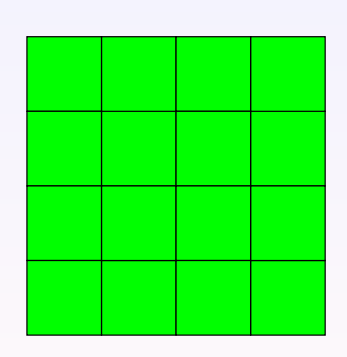


Kleinste Gebiete: Wir berechnen direkt

$$\hat{q}_{s,\nu} = \sum_{j \in s} \ell_{s,\nu}(y_j) \, q_j.$$

# Vorbereitungsphase

Aufgabe: Alle Koeffizienten  $\hat{q}_{s,\nu}$  für alle Teilgebiete sind zu berechnen.



Kleinste Gebiete: Wir berechnen direkt

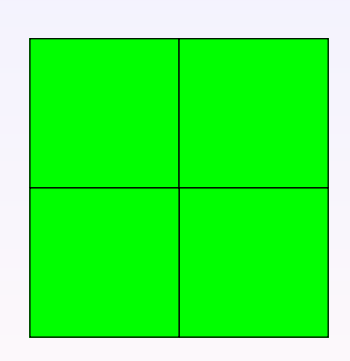
$$\hat{q}_{s,
u} = \sum_{j \in s} \ell_{s,
u}(y_j) \, q_j.$$

Größere Gebiete: Wir berechnen rekursiv

$$\hat{q}_{s,
u} = \sum_{s' \subset s} \sum_{
u' \in M} \ell_{s,
u}(\xi_{s',
u'}) \, \hat{q}_{s',
u'}.$$

# Vorbereitungsphase

Aufgabe: Alle Koeffizienten  $\hat{q}_{s,\nu}$  für alle Teilgebiete sind zu berechnen.



Kleinste Gebiete: Wir berechnen direkt

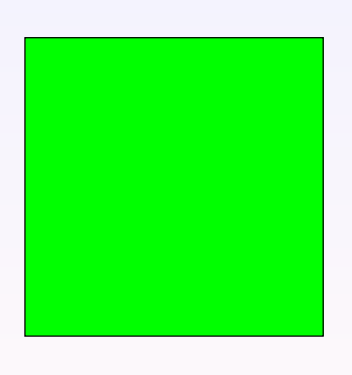
$$\hat{q}_{oldsymbol{s},
u} = \sum_{j \in oldsymbol{s}} \ell_{oldsymbol{s},
u}(oldsymbol{y}_j) \, q_j.$$

Größere Gebiete: Wir berechnen rekursiv

$$\hat{q}_{s,
u} = \sum_{s' \subset s} \sum_{
u' \in M} \ell_{s,
u}(\xi_{s',
u'}) \, \hat{q}_{s',
u'}.$$

## Vorbereitungsphase

Aufgabe: Alle Koeffizienten  $\hat{q}_{s,\nu}$  für alle Teilgebiete sind zu berechnen.



Kleinste Gebiete: Wir berechnen direkt

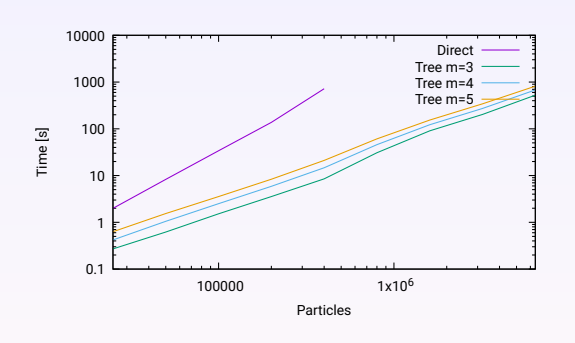
$$\hat{q}_{oldsymbol{s},
u} = \sum_{j \in oldsymbol{s}} \ell_{oldsymbol{s},
u}(oldsymbol{y}_j) \, q_j.$$

Größere Gebiete: Wir berechnen rekursiv

$$\hat{q}_{s,
u} = \sum_{s' \subset s} \sum_{
u' \in M} \ell_{s,
u}(\xi_{s',
u'}) \, \hat{q}_{s',
u'}.$$

8 / 19

## **Experiment: Baumalgorithmus**

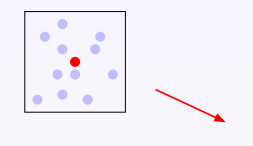


Teilchen	Direkt	Vorw.	Kopplung	Fehler
25 000	1.99	0.05	0.37	$7.71_{-6}$
50 000	8.29	0.11	0.93	$6.52_{-6}$
100 000	33.99	0.23	2.26	$5.18_{-6}$
200 000	137.32	0.46	5.40	$4.50_{-6}$
400 000	720.17	0.93	13.70	$4.18_{-6}$
800 000		1.87	43.86	
1 600 000		3.83	118.10	
3 200 000		7.77	264.24	
6 400 000		15.61	661.20	

### Ersatzziele

Bisher: Die Auswertung für einen Punkt benötigt  $\sim m^2 \log(\frac{H}{h})$  Operationen.

Ziel: Aufwand weiter reduzieren, um größere Systeme rechnen zu können.



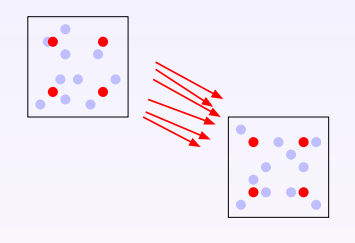
Ansatz: Falls ein zweiter Punkt  $x_k$  nahe an  $x_i$  liegt, werden auf ihn ungefähr dieselben Kräfte wirken wie auf  $x_i$ .

- ightarrow Es sollte genügen, diese Kräfte nur einmal zu berechnen.
- Realisierung: Wir ersetzen auch die Zielpunkte  $x_i$  in Teilgebieten t durch "Ersatzziele", aus denen wir die wirkenden Kräfte näherungsweise rekonstruieren können.

10 / 19

# Symmetrische Interpolation

Ziel: Höhere Genauigkeit der Approximation.



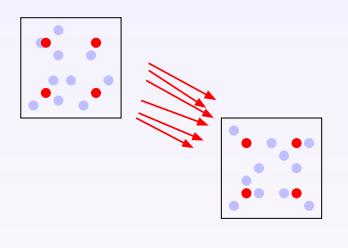
Ansatz: Interpolation in beiden Variablen.

$$g(x,y) pprox \sum_{
u \in M} \sum_{\mu \in M} \ell_{t,
u}(x) \, g(\xi_{t,
u}, \xi_{s,\mu}) \, \ell_{s,\mu}(y)$$

gültig für Quellen in s und Ziele in t.

# Symmetrische Interpolation

Ziel: Höhere Genauigkeit der Approximation.



Ansatz: Interpolation in beiden Variablen.

$$g(x,y) pprox \sum_{
u \in M} \sum_{\mu \in M} \ell_{t,
u}(x) \, g(\xi_{t,
u}, \xi_{s,\mu}) \, \ell_{s,\mu}(y)$$

gültig für Quellen in s und Ziele in t.

Zulässigkeitsbedingung muss verschärft werden zu

$$\max\{\operatorname{diam}(t),\operatorname{diam}(s)\} \leq \eta \operatorname{dist}(t,s),$$

um schnelle Konvergenz garantieren zu können.

### Rückwärtstransformation

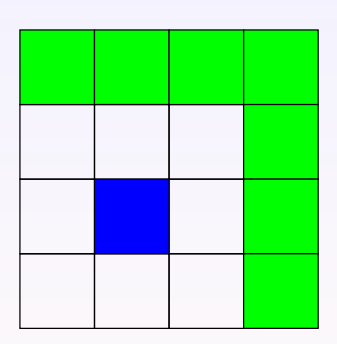
Erinnerung: Bei der Vorwärtstransformation haben wir die Koeffizienten auf einem größeren Gebiet s aus den Koeffizienten auf Teilgebieten  $s' \subseteq s$  zusammengesetzt:

$$\hat{q}_{s,
u} = \sum_{s' \subseteq s} \sum_{
u' \in M} \ell_{s,
u}(\xi_{s',
u'}) \, \hat{q}_{s',
u'}.$$

Kräfte können in die entgegengesetzte Richtung weitergegeben werden. Falls wir die Kräfte  $\hat{f}_{t,\mu}$  für ein größeres Gebiet t kennen, erhalten wir für ein Teilgebiet  $t' \subseteq t$ 

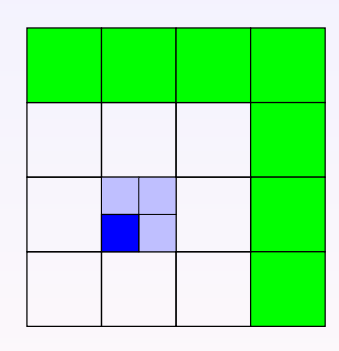
$$\hat{f}_{t',\mu'} = \sum_{\mu \in \mathcal{M}} \ell_{t,\mu}(\xi_{t',\mu'}) \, \hat{f}_{t,\mu}.$$

Idee: Wir verwenden hierarchisch unterteilte Teilgebiete sowohl für die Quellen als auch für die Ziele.



Kräfte werden für Interpolationspunkte in zulässigen Paare von Quell- und Zielgebieten berechnet.

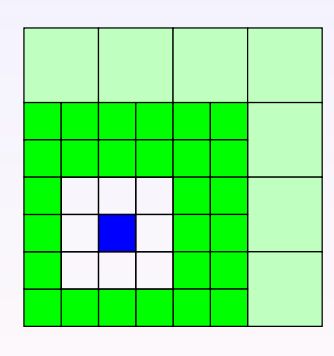
Idee: Wir verwenden hierarchisch unterteilte Teilgebiete sowohl für die Quellen als auch für die Ziele.



Kräfte werden für Interpolationspunkte in zulässigen Paare von Quell- und Zielgebieten berechnet.

Transfer: Auf größeren Gebieten berechnete Kräfte können auf kleineren interpoliert und so "vererbt" werden.

Idee: Wir verwenden hierarchisch unterteilte Teilgebiete sowohl für die Quellen als auch für die Ziele.

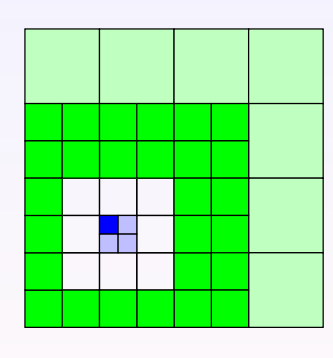


Kräfte werden für Interpolationspunkte in zulässigen Paare von Quell- und Zielgebieten berechnet.

Transfer: Auf größeren Gebieten berechnete Kräfte können auf kleineren interpoliert und so "vererbt" werden.

Akkumulation: Kräfte für kleinere Teilgebiete werden den "geerbten" Kräften hinzugefügt.

Idee: Wir verwenden hierarchisch unterteilte Teilgebiete sowohl für die Quellen als auch für die Ziele.

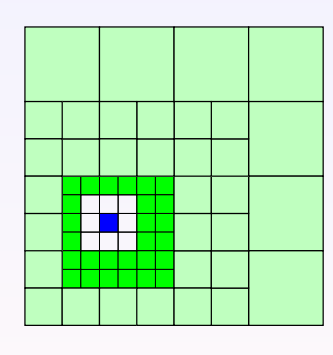


Kräfte werden für Interpolationspunkte in zulässigen Paare von Quell- und Zielgebieten berechnet.

Transfer: Auf größeren Gebieten berechnete Kräfte können auf kleineren interpoliert und so "vererbt" werden.

Akkumulation: Kräfte für kleinere Teilgebiete werden den "geerbten" Kräften hinzugefügt.

Idee: Wir verwenden hierarchisch unterteilte Teilgebiete sowohl für die Quellen als auch für die Ziele.

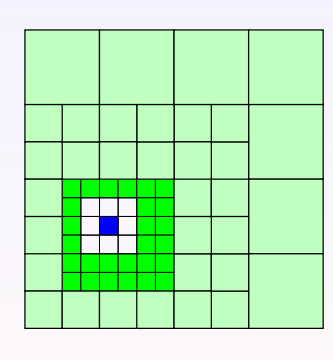


Kräfte werden für Interpolationspunkte in zulässigen Paare von Quell- und Zielgebieten berechnet.

Transfer: Auf größeren Gebieten berechnete Kräfte können auf kleineren interpoliert und so "vererbt" werden.

Akkumulation: Kräfte für kleinere Teilgebiete werden den "geerbten" Kräften hinzugefügt.

Idee: Wir verwenden hierarchisch unterteilte Teilgebiete sowohl für die Quellen als auch für die Ziele.



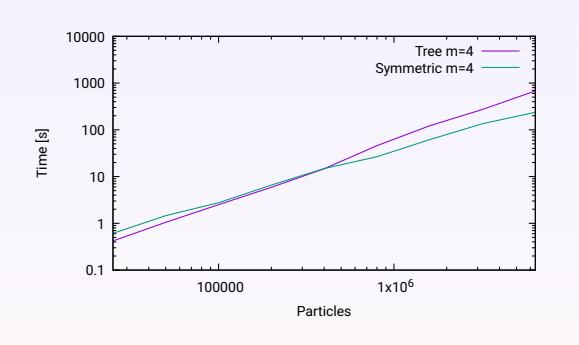
Kräfte werden für Interpolationspunkte in zulässigen Paare von Quell- und Zielgebieten berechnet.

Transfer: Auf größeren Gebieten berechnete Kräfte können auf kleineren interpoliert und so "vererbt" werden.

Akkumulation: Kräfte für kleinere Teilgebiete werden den "geerbten" Kräften hinzugefügt.

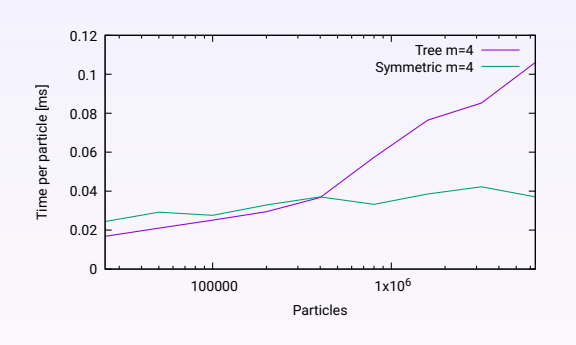
Ergebnis: Bei geeigneter Wahl der Rekursionstiefe genügen  $\mathcal{O}(m^2n)$  Operationen.

## **Experiment: Symmetrischer Algorithmus**



Teilchen	Baum	Fehler	Symm	Fehler
25 000	0.42	$7.71_{-6}$	0.61	$5.64_{-6}$
50 000	1.04	$6.52_{-6}$	1.45	$5.84_{-6}$
100 000	2.49	$5.18_{-6}$	2.74	$6.67_{-6}$
200 000	5.86	$4.50_{-6}$	6.55	$6.40_{-6}$
400 000	14.63	$4.18_{-6}$	14.76	$6.34_{-6}$
800 000	45.73		26.43	
1 600 000	121.93		61.32	
3 200 000	272.01		134.28	
6 400 000	676.81		235.21	

## **Experiment: Symmetrischer Algorithmus**



Teilchen	Baum	Fehler	Symm	Fehler
25 000	0.42	$7.71_{-6}$	0.61	5.64_6
50 000	1.04	$6.52_{-6}$	1.45	$5.84_{-6}$
100 000	2.49	$5.18_{-6}$	2.74	$6.67_{-6}$
200 000	5.86	$4.50_{-6}$	6.55	$6.40_{-6}$
400 000	14.63	$4.18_{-6}$	14.76	$6.34_{-6}$
800 000	45.73		26.43	
1 600 000	121.93		61.32	
3 200 000	272.01		134.28	
6 400 000	676.81		235.21	

#### Verteiltes Rechnen

Problem: Falls wir sehr viele Teilchen berechnen wollen, ist der Rechenaufwand auch mit dem symmetrischen Verfahren noch recht hoch.

Ansatz: Wir beschäftigen mehrere Computer, von denen jeder für ein einziges oder mehrere Teilgebiete zuständig ist.

#### Algorithmus:

- Vorwärtstransformation auf jedem Computer für sein Teilgebiet.
- Berechnung der Kräfte in den Interpolationspunkten.
- Rückwärtstransformation auf jedem Computer für sein Teilgebiet.

#### Verteiltes Rechnen

Problem: Falls wir sehr viele Teilchen berechnen wollen, ist der Rechenaufwand auch mit dem symmetrischen Verfahren noch recht hoch.

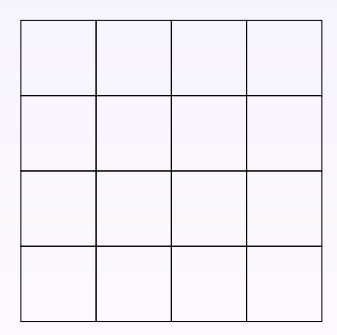
Ansatz: Wir beschäftigen mehrere Computer, von denen jeder für ein einziges oder mehrere Teilgebiete zuständig ist.

### Algorithmus:

- Vorwärtstransformation auf jedem Computer für sein Teilgebiet.
- 2 Austausch der Koeffizienten zwischen den Computern.
- Berechnung der Kräfte in den Interpolationspunkten.
- Rückwärtstransformation auf jedem Computer für sein Teilgebiet.

Aufgabe: Jeder Computer muss wissen,

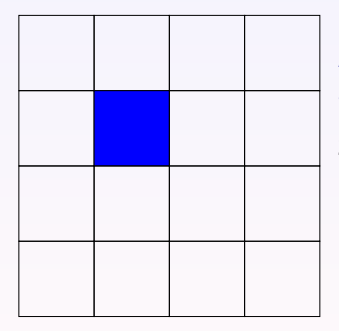
- welche Daten er von anderen Computern empfangen wird und
- welche Daten er ihnen senden muss.



Ausgangspunkt: Zerlegung des gesamten Raums in Teilgebiete.

Aufgabe: Jeder Computer muss wissen,

- welche Daten er von anderen Computern empfangen wird und
- welche Daten er ihnen senden muss.

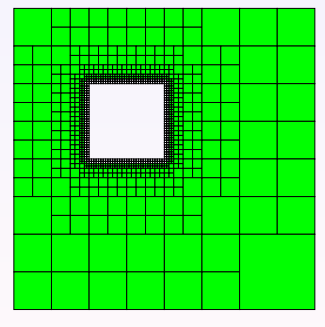


Ausgangspunkt: Zerlegung des gesamten Raums in Teilgebiete.

Verteiltes Rechnen: Jeder Computer ist für ein Teilgebiet zuständig.

Aufgabe: Jeder Computer muss wissen,

- welche Daten er von anderen Computern empfangen wird und
- welche Daten er ihnen senden muss.

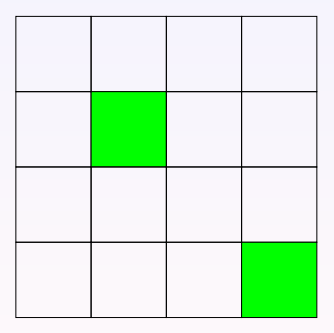


Ausgangspunkt: Zerlegung des gesamten Raums in Teilgebiete.

Verteiltes Rechnen: Jeder Computer ist für ein Teilgebiet zuständig.

Aufgabe: Jeder Computer muss wissen,

- welche Daten er von anderen Computern empfangen wird und
- welche Daten er ihnen senden muss.

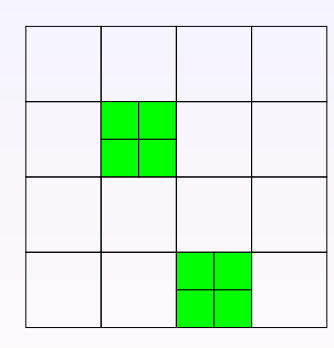


Ausgangspunkt: Zerlegung des gesamten Raums in Teilgebiete.

Verteiltes Rechnen: Jeder Computer ist für ein Teilgebiet zuständig.

Aufgabe: Jeder Computer muss wissen,

- welche Daten er von anderen Computern empfangen wird und
- welche Daten er ihnen senden muss.

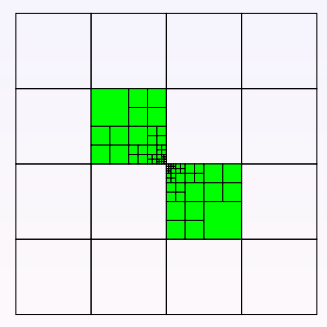


Ausgangspunkt: Zerlegung des gesamten Raums in Teilgebiete.

Verteiltes Rechnen: Jeder Computer ist für ein Teilgebiet zuständig.

Aufgabe: Jeder Computer muss wissen,

- welche Daten er von anderen Computern empfangen wird und
- welche Daten er ihnen senden muss.

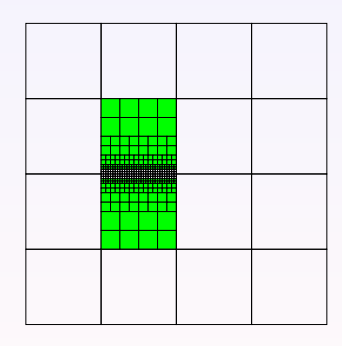


Ausgangspunkt: Zerlegung des gesamten Raums in Teilgebiete.

Verteiltes Rechnen: Jeder Computer ist für ein Teilgebiet zuständig.

Aufgabe: Jeder Computer muss wissen,

- welche Daten er von anderen Computern empfangen wird und
- welche Daten er ihnen senden muss.



Ausgangspunkt: Zerlegung des gesamten Raums in Teilgebiete.

Verteiltes Rechnen: Jeder Computer ist für ein Teilgebiet zuständig.

## Zusammenfassung

Interpolation: Wir ersetzen die Quellen des Felds durch "Ersatzquellen" in Interpolationspunkten, die ungefähr dasselbe Feld erzeugen.

$$\sum_{y_j \in s} q_j \, g(x, y_j) \approx \sum_{\nu \in M} \hat{q}_{s,\nu} \, g(x, \xi_{s,\nu}).$$

Zulässigkeitskriterium  $diam(s) \le \eta \operatorname{dist}(x_i, s)$  garantiert die Genauigkeit und führt zu einer Zerlegung des Raums in Teilgebiete.

Symmetrische Interpolation führt zu linearer, also optimaler Komplexität.

Verteiltes Rechnen ermöglicht die Behandlung auch sehr großer Aufgaben.

# Zusammenfassung

Interpolation: Wir ersetzen die Quellen des Felds durch "Ersatzquellen" in Interpolationspunkten, die ungefähr dasselbe Feld erzeugen.

$$\sum_{y_j \in s} q_j \, g(x, y_j) \approx \sum_{\nu \in M} \hat{q}_{s,\nu} \, g(x, \xi_{s,\nu}).$$

Zulässigkeitskriterium diam $(s) \le \eta$  dist $(x_i, s)$  garantiert die Genauigkeit und führt zu einer Zerlegung des Raums in Teilgebiete.

Symmetrische Interpolation führt zu linearer, also optimaler Komplexität.

Verteiltes Rechnen ermöglicht die Behandlung auch sehr großer Aufgaben.

Verfeinerungen: Multipolentwicklung oder Quadraturformeln statt Interpolation, Interpolation variabler Ordnung, algebraische Rekompression.

### Literatur

### Ursprünge:

- V. Rokhlin: Rapid solution of integral equations of classical potential theory
   J. Comp. Phys. 60:187–207 (1985)
- W. Hackbusch, Z. P. Nowak: On the fast matrix multiplication in the boundary element method by panel clustering Numer. Math. 54(4):463–491 (1989)

#### Verfeinerungen:

- L. Greengard, V. Rokhlin: A fast algorithm for particle simulations
   J. Comp. Phys. 73:325–348 (1987)
- C. R. Anderson: An implementation of the fast multipole method without multipoles SIAM J. Sci. Stat. Comp. 13:923–947 (1992)
- S. Börm, M. Löhndorf, J. M. Melenk: Approximation of integral operators by variable-order interpolation Numer. Math. 99(4):605–643 (2005)

### Literatur

#### Hybride Verfahren:

- S. Börm: Approximation of integral operators by  $\mathcal{H}^2$ -matrices with adaptive bases Computing 74:249–271 (2005)
- S. Börm, C. Börst: Hybrid matrix compression for high-frequency problems SIAM J. Mat. Anal. Appl. 41(4):1704–1725 (2020)

#### Hierarchische Matrizen:

- W. Hackbusch: Hierarchical Matrices: Algorithms and Analysis Springer (2015)
- S. Börm: Efficient Numerical Methods for Non-local Operators:  $\mathcal{H}^2$ -Matrix Compression, Algorithms and Analysis EMS Tracts in Mathematics 14 (2010)
- M. Faustmann, J. M. Melenk, D. Praetorius: H-matrix approximability of the inverses of FEM matrices Numer. Math. 131(4):615–642 (2015)